

УДК 536.37

## **Математическое моделирование сушки влажного пористого материала в диффузионном приближении**

**У.Р. Ильясов<sup>1</sup>, Д.Е. Игошин<sup>2</sup>**

<sup>1</sup>*Филиал Южно-Уральского государственного университета,  
Нижевартовск*

<sup>2</sup>*Стерлитамакская государственная педагогическая академия*

E-mail: navydimka@rambler.ru

Рассмотрена задача о сушке пористого проницаемого материала. Построены автомодельные решения для процесса диффузионного переноса влаги. Исследована зависимость интенсивности сушки от исходного состояния пористой среды, а также параметров внешнего воздействия.

**Ключевые слова:** математическое моделирование, сушка, тепломассоперенос, пар, вода, влагосодержание, пористость, диффузия, теплопроводность, автомодельная задача, пристрелка.

Основные уравнения, описывающие процессы тепломассопереноса при тепловом воздействии на пористые среды, получили название уравнений Лыкова [1]. Они описывают режим мягкой сушки при малых тепловых потоках, когда температура сушки не превышает 50–70 °С, что ниже температуры кипения воды. Наиболее распространенным способом интенсификации процесса сушки материалов является повышение температуры среды, что достигается сушкой в перегретом паре [2]. При этом процесс сушки сопровождается повышением внутреннего избыточного давления водяного пара и перемещением вглубь тела области фазового перехода. В этих случаях необходимо численное решение системы уравнений Лыкова. Наиболее простые модели рассмотрены в работах [3, 4]. В работе [5] рассмотрена задача тепломассопереноса, сопровождаемая углублением зоны испарения при сушке. Получены аналитические решения, однако при решении задачи пренебрегалось градиентами переноса во влажной зоне тела, а также полагалось, что подводимая за счет теплопроводности сухого слоя теплота целиком расходуется на испарение воды. Отметим, что это может происходить только при начальной температуре тела, очень близкой к температуре насыщения воды. В работе [6] предложена система дифференциальных уравнений, описывающих процессы переноса тепла и влаги в капиллярно пористых телах, которая замыкается при помощи определений диффузионных потоков тепла и массы, рекомендованных в работе [1], а также уравнения состояния без анализа влияния структурных характеристик пористого тела на закономерности переноса. Для малых значений

числа Пекле, меньших 0,1, когда конвективным переносом массы можно пренебречь по сравнению с диффузионным, время сушки тел с характерным размером  $L \approx 10^{-2}$  м при коэффициенте диффузии  $10^{-9} \div 10^{-6}$  м<sup>2</sup>/с должно быть  $10^3 \div 10^6$  с, т. е. данный подход применим только для относительно мягких режимов сушки.

Следует отметить, что в зависимости от параметров внешнего воздействия и исходного состояния материала могут реализоваться различные режимы сушки, вплоть до увлажнения. В настоящей работе рассматриваются некоторые особенности процессов тепломассопереноса при конвективной сушке влажной пористой среды в одномерной постановке.

### 1. ОСНОВНЫЕ УРАВНЕНИЯ

Для теоретического описания процессов тепломассопереноса при нагреве пористой среды примем следующие допущения. Будем полагать, что температура пористой среды и насыщающей парогазоводяной смеси в каждой точке совпадают, скелет пористой среды несжимаем и неподвижен, т. е. усадкой материала пренебрегаем. Испарение происходит полностью внутри пор, перенос влаги происходит в газофазном режиме, а жидкая фаза неподвижна. В этом случае можно пренебречь гидравлическим сопротивлением пористой среды. Будем полагать, что суммарное давление парогазовой смеси  $p$ , состоящее из парциальных давлений пара  $p_v$  и воздуха  $p_a$ , однородно. Причем каждый из компонентов (пар и воздух) является калорически совершенным:

$$p = p_v + p_a, \quad p_v = \rho_v \frac{R}{\mu_v} T, \quad p_a = \rho_a \frac{R}{\mu_a} T, \quad (1.1)$$

где  $R$  — универсальная газовая постоянная,  $\rho_i$ ,  $\mu_i$  ( $i = v, a$ ) — парциальные плотности и молярные массы компонентов. Нижние индексы  $v$  и  $a$  соответствуют пару и воздуху.

Во влажной зоне фазовые переходы происходят в равновесном режиме, т. е. парогазовая смесь находится при точке росы, поэтому парциальное давление пара  $p_v$  равно давлению насыщенного пара  $p_s(T)$ , соответствующего текущей температуре  $T$  ( $p_v = p_s(T)$ ). Для зависимости  $p_s(T)$  будем использовать выражение [7]

$$p_s(T) = p_* \exp\left(-\frac{T_*}{T}\right), \quad (1.2)$$

где  $p_*$  и  $T_*$  — эмпирические параметры, определяемые на основе табличных данных. Тогда во влажной зоне парциальные плотности пара и воздуха однозначно определяются через текущую температуру  $T$ :

$$\rho_v = \frac{\mu_v p_s(T)}{RT}, \quad \rho_a = \frac{\mu_a (p - p_s(T))}{RT}. \quad (1.3)$$

В рамках принятых допущений уравнение сохранения массы для воды и пара примет вид

$$\frac{\partial}{\partial t} [m(1 - S_1) \rho_v + m S_1 \rho_1] + \frac{\partial (m(1 - S_1) \rho_v v_v)}{\partial x} = 0, \quad (1.4)$$

где  $m$  — пористость,  $m(1-S_1)$  — часть порового объема, занятая подвижной фазой или “живая” пористость,  $\rho_i$  ( $i=1, v$ ) — плотности фаз,  $S_1$  — объемное влаго-содержание в порах,  $v_v$  — скорость пара, нижние индексы  $l, v, r$  здесь и далее соответствуют воде (liquid — жидкость), пару (vapor) и пористому скелету (rubber — резина).

Для процесса диффузионного переноса газовой фазы примем закон Фика

$$\rho_v v_v = -D \frac{\partial \rho_v}{\partial x}, \quad (1.5)$$

где  $D$  — коэффициент диффузии.

Уравнение теплового баланса, пренебрегая конвективным переносом и баротермическим эффектом, запишем в виде:

$$\rho c \frac{\partial T}{\partial t} = \lambda \frac{\partial^2 T}{\partial x^2} + ml \rho_{l0} \frac{\partial S_1}{\partial t}, \quad (1.6)$$

$$\rho c = (1-m)\rho_r c_r + m\rho_l c_l S_1, \quad \lambda = (1-m)\lambda_r + m\lambda_l S_1.$$

Здесь  $T$  — температура,  $\rho c$  — удельно-объемная теплоемкость,  $\lambda$  — коэффициент теплопроводности системы пористая среда–вода,  $l$  — удельная теплота парообразования воды,  $c_i, \lambda_i$  — удельная теплоемкость и коэффициент теплопроводности фаз ( $i=r, l$ ). Последнее слагаемое в (1.6) соответствует тепловому эффекту фазовых переходов во влажной зоне. В сухой зоне ( $0 < x < x_{(s)}$ ) это слагаемое равно нулю.

Приведенные выше уравнения необходимо дополнить соотношениями на границе сухой и влажной зон ( $x = x_{(s)}$ ), следующими из условий баланса тепла и массы:

$$\left( \lambda \frac{\partial T}{\partial x} \right)_{(s)}^+ - \left( \lambda \frac{\partial T}{\partial x} \right)_{(s)}^- = ml \rho_l S_{l(s)} \dot{x}_{(s)}, \quad \dot{x}_{(s)} = \frac{dx_{(s)}}{dt}, \quad (1.7)$$

$$\rho_v (v_v^+ - \dot{x}_{(s)}) (1 - S_{l(s)}) - \rho_v (v_v^- - \dot{x}_{(s)}) = \rho_l S_{l(s)} \dot{x}_{(s)}.$$

Здесь нижний индекс  $s$  соответствует значениям параметров на границе. На этой границе температура, а также плотность пара и воздуха полагаются непрерывными, а водонасыщенность может терпеть разрыв:

$$T^- = T^+ = T_{(s)}, \quad \rho_i^- = \rho_i^+ = \rho_{i(s)},$$

где  $i = r, l$ .

Кроме того, на границе сухой и влажной зон парциальная плотность пара и температура связаны условием фазового равновесия, следующим из (1.3):

$$\rho_{v(s)} = \frac{\mu_v p^*}{RT_{(s)}} \exp \left( - \frac{T_*}{T_{(s)}} \right). \quad (1.8)$$

## 2. ПОСТАНОВКА ЗАДАЧИ

Рассмотрим одномерную задачу о нагреве пористой среды через проникаемую границу. Пусть в исходном состоянии пористая среда содержит жидкость с объемным влагосодержанием  $S_l$  и находится при температуре  $T_0$ .

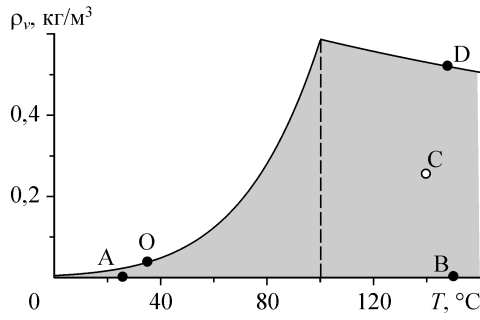


Рис. 1. Фазовая диаграмма температура–плотность пара для различных начально-граничных условий.

Внутрипоровое давление будем полагать равным атмосферному. На границе ( $x = 0$ ) пористая среда начинает обдуваться паровоздушной смесью с температурой  $T_e$  и парциальной плотностью пара  $\rho_{ve}$ . На рис. 1 приведена фазовая диаграмма возможных состояний пара на плоскости  $T, \rho_v$  (затемненная область на диаграмме) при полном давлении паровоздушной смеси  $p$ . Влажной зоне соответствует область  $T \leq T_b$ , где  $T_b$  — температура кипения при давлении  $p$ . Участок  $T \geq T_b$  соответствует состоянию чистого перегретого пара, находящегося под давлением  $p$ .

Пусть точка О, лежащая на линии (1.8), соответствует начальному состоянию пористой среды. Точки А, В, С, D соответствуют различным случаям внешнего воздействия. В частности, точки А и В соответствуют случаю, когда пористая среда обдувается сухим ( $\rho_{ve} = 0$ ) холодным ( $T_e < T_0$ ) или горячим ( $T_e > T_0$ ) воздухом, точка С — перегретой паровоздушной смесью, D — перегретым паром ( $T_e > T_b$ ). С учетом вышеотмеченного начальные и граничные условия можно записать в виде:

$$\begin{aligned} S_l &= S_{l0}, \quad T = T_0 \quad (x \geq 0, \quad t = 0), \\ \rho_v &= \rho_{ve}, \quad T = T_e \quad (x = 0, \quad t > 0). \end{aligned} \quad (2.1)$$

Будем искать автомодельное решение данной задачи. Введем безразмерные температуру, плотность и автомодельную переменную:

$$\Theta = \frac{T}{T_0}, \quad \tilde{\rho} = \frac{\rho_v}{\rho_{v0}}, \quad \xi = \frac{x}{2\sqrt{\kappa t}}, \quad \kappa = \frac{\lambda}{\rho c},$$

где  $\kappa$  — коэффициент температуропроводности системы.

Тогда уравнения теплопереноса примут вид:

$$\frac{d^2 \tilde{\rho}}{d\xi^2} = -\frac{2\xi}{Le} \frac{d\tilde{\rho}}{d\xi}, \quad \frac{d^2 \Theta}{d\xi^2} = -2\xi \frac{d\Theta}{d\xi}, \quad 0 < \xi < \xi_{(s)}, \quad (2.2)$$

$$\frac{\Theta_* - 1}{\Theta} \frac{d^2 \Theta}{d\xi^2} + \frac{\Theta_*^2 - 4\Theta_* + 2}{\Theta^2} \left( \frac{d\Theta}{d\xi} \right)^2 = -\frac{2\xi}{Le} \frac{\tilde{\rho}_l}{1 - S_l} \frac{dS_l}{d\xi}, \quad (2.3)$$

$$\frac{d^2 \Theta}{d\xi^2} = -2\xi \left( \frac{d\Theta}{d\xi} - \frac{m}{Ja} \frac{dS_l}{d\xi} \right), \quad \tilde{\rho} = \frac{1}{\Theta} \exp \left( \Theta_* - \frac{\Theta}{\Theta} \right), \quad \xi_{(s)} < \xi < \infty.$$

На границе сухой и влажной зон ( $\xi = \xi_{(s)}$ ) имеем:

$$\begin{aligned} \left( \frac{d\tilde{\rho}}{d\xi} \right)_{(s)}^- - (1 - S_{l(s)}) \left( \frac{d\tilde{\rho}}{d\xi} \right)_{(s)}^+ &= \frac{2}{Le} \tilde{\rho}_l S_{l(s)} \xi_{(s)}, \\ \left( 1 + \frac{m}{1-m} \tilde{\lambda} S_{l(s)} \right) \left( \frac{d\Theta}{d\xi} \right)_{(s)}^+ - \left( \frac{d\Theta}{d\xi} \right)_{(s)}^- &= \frac{2}{Ja} \frac{m}{1-m} S_{l(s)} \xi_{(s)}. \end{aligned} \quad (2.4)$$

Безразмерные коэффициенты в уравнениях (2.2)–(2.4) имеют вид:

$$\text{Le} = \frac{D}{\kappa}, \quad \text{Ja} = \frac{\rho c T_0}{\rho_1 L}, \quad \Theta_* = \frac{T_*}{T_0}, \quad \tilde{\rho}_1 = \frac{\rho_1}{\rho_{v0}}, \quad \tilde{\lambda} = \frac{\lambda_1}{\lambda_r}.$$

Здесь  $\text{Le}$  — число Льюиса,  $\text{Ja}$  — число Якоба.

Систему уравнений (2.3) целесообразнее привести к виду, удобному для численных расчетов:

$$\begin{aligned} \frac{d^2 \Theta}{d\xi^2} &= \left( \frac{\Theta_*^2 - 4\Theta_* + 2 \left( \frac{d\Theta}{d\xi} \right)^2}{\Theta^2} + \frac{2\xi \tilde{\rho}_1 \text{Ja}}{m(1-S_1)\text{Le}} \frac{d\Theta}{d\xi} \right) / \left( \frac{\tilde{\rho}_1 \text{Ja}}{m(1-S_1)\text{Le}} + \frac{\Theta_* - 1}{\Theta} \right), \\ \frac{dS_1}{d\xi} &= -\frac{\text{Ja}}{m} \left( \frac{\Theta_*^2 - 4\Theta_* + 2 \left( \frac{d\Theta}{d\xi} \right)^2}{2\xi\Theta^2} - \frac{\Theta_* - 1}{\Theta} \frac{d\Theta}{d\xi} \right) / \left( \frac{\tilde{\rho}_1 \text{Ja}}{m(1-S_1)\text{Le}} + \frac{\Theta_* - 1}{\Theta} \right). \end{aligned} \quad (2.5)$$

Из начальных и граничных условий (2.1) следует:

$$\begin{aligned} \Theta &= \Theta_e, \quad \tilde{\rho} = \tilde{\rho}_e, \quad \xi = 0, \\ \Theta &= 1, \quad S_1 = S_{10}, \quad \xi = \infty. \end{aligned} \quad (2.6)$$

### 3. АНАЛИЗ РЕШЕНИЙ

Уравнения (2.2), описывающие перенос пара и температуры в сухой зоне, могут быть проинтегрированы:

$$\tilde{\rho} = \tilde{\rho}_e + \left( \tilde{\rho}_{(s)} - \tilde{\rho}_e \right) \int_0^\xi \exp(-\xi^2/\text{Le}) d\xi / \int_0^{\xi_{(s)}} \exp(-\xi^2/\text{Le}) d\xi, \quad \tilde{\rho}_{(s)} = \frac{\rho_{v(s)}}{\rho_{v0}}, \quad (3.1)$$

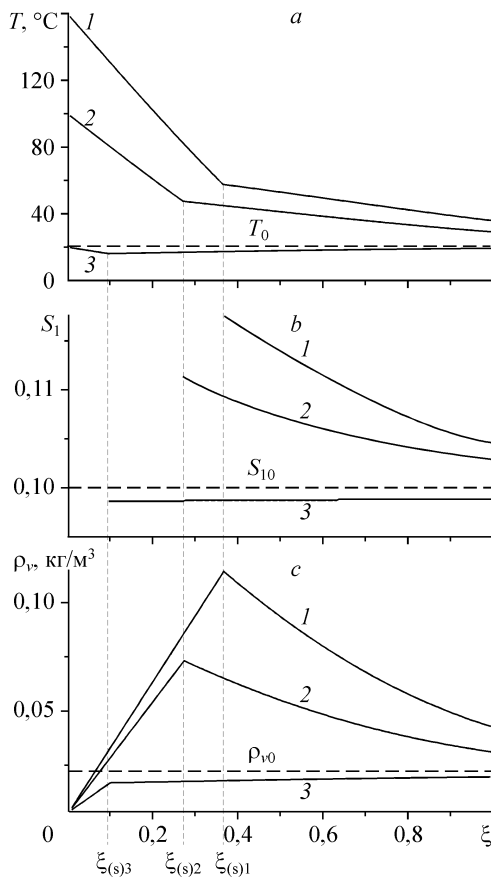
$$\Theta = \Theta_e + \left( \Theta_{(s)} - \Theta_e \right) \int_0^\xi \exp(-\xi^2) d\xi / \int_0^{\xi_{(s)}} \exp(-\xi^2) d\xi, \quad \Theta_{(s)} = \frac{T_{(s)}}{T_0}, \quad 0 < \xi < \xi_{(s)}.$$

После некоторых преобразований из соотношений (2.4) получим выражения, связывающие автомодельную координату границы  $S_{1(s)}$  со значениями объемного влагосодержания  $\xi_{(s)}$  и производной  $(d\Theta/d\xi)^+$  на этой границе:

$$\begin{aligned} &\frac{m}{1-m} \frac{2}{\text{Le}} \left( \tilde{\rho}_{(s)} \frac{\Theta_* - 1}{\Theta_{(s)}} - \tilde{\lambda} \tilde{\rho}_1 \right) \xi_{(s)} S_{1(s)}^2 + \left( \frac{d\tilde{\rho}}{d\xi} \right)_{(s)}^- - \tilde{\rho}_{(s)} \frac{\Theta_* - 1}{\Theta_{(s)}} \left( \frac{d\Theta}{d\xi} \right)_{(s)}^- + \\ &+ \left( \tilde{\rho}_{(s)} \frac{\Theta_* - 1}{\Theta_{(s)}} \left( \frac{d\Theta}{d\xi} \right)_{(s)}^- + \frac{m}{1-m} \tilde{\lambda} \left( \frac{d\tilde{\rho}}{d\xi} \right)_{(s)}^- - \frac{2}{\text{Le}} \left( \tilde{\rho}_{(s)} \frac{\Theta_* - 1}{\Theta_{(s)}} \frac{m}{1-m} + \tilde{\rho}_1 \right) \xi_{(s)} \right) S_{1(s)} = 0, \quad (3.2) \\ &\left( \frac{d\Theta}{d\xi} \right)^+ = \frac{\left( \frac{d\Theta}{d\xi} \right)_{(s)}^- + \frac{m}{1-m} \frac{2}{\text{Ja}} \xi_{(s)} S_{1(s)}}{1 + \frac{m}{1-m} \tilde{\lambda} S_{1(s)}}. \end{aligned}$$

Таким образом, задача об определении полей температуры и влагосодержания сводится к решению систем уравнений (2.2) и (2.5), удовлетворяющих граничным условиям (2.6), а также условиям (3.2) на заранее неизвестной границе  $\xi = \xi_{(s)}$ . Численное решение этой системы осуществлялось методом пристрелки, заключающемся в следующем. Начиная с произвольной границы  $\xi_{(s)}$  и температуры  $\Theta_{(s)}$  будем решать задачу Коши для системы уравнений (2.5) при начальных условиях, определяемых из (3.2). Пристрелку — подбор значений  $\xi_{(s)}$  и  $\Theta_{(s)}$  — будем продолжать до выполнения второго условия (2.6)

На рис. 2 представлены распределения температуры (a), влагосодержания (b) и парциальной плотности пара (c) в пористой среде, полученные при различных значениях температуры:  $T_e = 160, 100, 20^\circ\text{C}$  (линии 1, 2, 3). Плотность пара на внешней границе  $\rho_{ve} = 0$  (сухой воздух), начальная температура  $T_0 = 20^\circ\text{C}$ , исходная водонасыщенность  $S_{l0} = 0,1$ . Для остальных параметров, характеризующих исходное состояние пористой среды, здесь и далее приняты следующие значения:  $m = 0,5$ ,  $p = 0,1$  МПа,  $p_* = 1,1 \cdot 10^5$  МПа,  $T_* = 5186$  К,  $\rho_l = 1000$  кг/м<sup>3</sup>,  $c_l = 4200$  Дж/(кг·К),  $\rho_r = 925$  кг/м<sup>3</sup>,  $c_r = 1000$  Дж/(кг·К),  $\lambda_r = 0,15$  Вт/(м·К),  $\lambda_r = 0,65$  Вт/(м·К),  $l = 2,26 \cdot 10^6$  Дж/кг,  $D = 2,05 \left( \frac{T}{273} \right)^{2,072}$ .



На рис. 2 видно, что основной перепад температур реализуется в ближней сухой зоне, а во влажной зоне тепло расходуется на фазовые переходы. Интенсификация процесса сушки путем увеличения температуры нагрева это может привести к перегреву материала (линия 1). Кроме того, из рис. 2 следует, что при сушке сухим воздухом на границе сухой и влажной зон ( $\xi = \xi_{(s)}$ ) средняя плотность пара максимальна, а это приводит к тому, что диффузионный поток с границы зон направлен как наружу, так и внутрь. Это, наряду с удалением влаги из материала, приводит к частичному переносу пара вглубь, при этом наблюдается увеличение влагосодер-

Рис. 2. Профили температуры (a), объемного влагосодержания (b) и плотности пара (c) при сушке сухим воздухом ( $\rho_{ve} = 0$ ). Линии 1, 2 и 3 соответствуют  $T_e = 160, 100$  и  $20^\circ\text{C}$ , всюду концентрация пара снаружи равна нулю (на внешней границе — сухой воздух),  $T_0 = 20^\circ\text{C}$ ,  $S_{l0} = 0,1$ .

жания на границе зон (см. рис. 2, *b*, линии 1 и 2). Следует отметить, что при сушке холодным воздухом (линия 3) на границе зон образуется температурная яма, т. к. в этом случае фазовые переходы происходят за счет внутренней энергии.

На рис. 3 представлены распределения температуры (*a*), влагосодержания (*b*) и плотности пара (*c*) в пористой среде при сушке перегретым паром. Линии 1 и 2 получены при различных соответствующих значениях внешней температуры  $T_e = 160, 110$  °С. В этом случае плотность пара на границе нагрева максимальна и влага переносится исключительно внутрь пористой среды. Это приводит к значительному увеличению влагосодержания на границе зон в отличие от сушки сухим воздухом (см. рис. 2), т. е. происходит увлажнение материала. Отметим, что при этом температура самого материала близка к температуре насыщения, т. е. происходит более интенсивный и глубокий прогрев пористой среды.

Режим сушки горячей пористой среды ( $T_0 = 90$  °С) сухим воздухом представлен на рис. 4. Как видно, наблюдается увеличение протяженности сухой зоны и уменьшение водонасыщенности среды (линии 1, 2), т. е. происходит интенсификация процесса сушки. При этом вследствие интенсивных фазовых переходов в пористой среде реализуется температурная яма. При сушке холодным воздухом (линия 3) происходит переохлаждение пара вблизи границы влажной зоны и частичная его конденсация.

Зависимость автомодельной координаты границы влажной зоны  $\xi_{(s)}$ , температуры на этой границе  $T_{(s)}$ , а также величина “горба” водонасыщенности  $S_{I(s)} - S_{I0}$  от исходного влагосодержания  $S_{I0}$  при различных значениях температуры  $T_e$  представлены на рис. 5.

Вообще, множество решений определяется ограничениями на начальные параметры: исходное влагосодержание может принимать значение от 0 до 1, исходная температура — от 0 до 100°С, внешняя температура — от 0 до 160°С (температура растрескивания материала), плотность пара на внешней границе может варьировать от 0 до значения, определяемого плотностью насыщенного пара при 100°С.

Не для всяких начальных условий можно построить решение, непротиворечивое по отношению к принятым допущениям. Как видно из рис. 6, максимальное значение исходной температуры, при которой решение

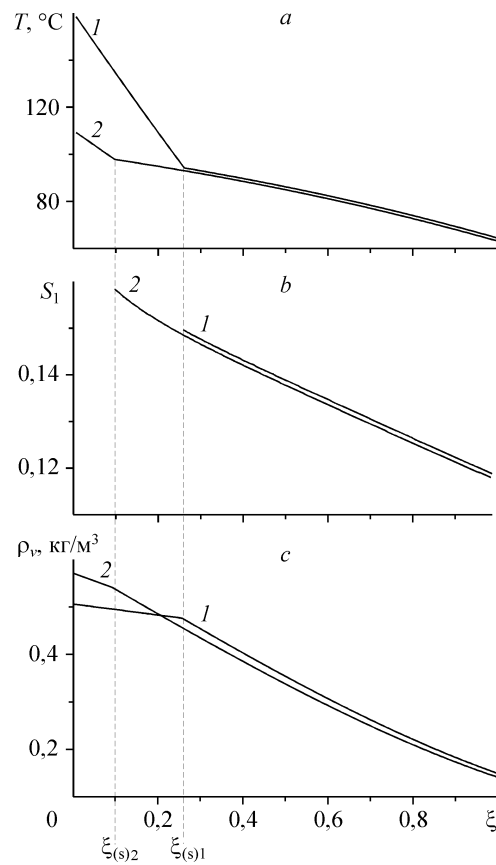


Рис. 3. Распределения температуры (*a*), влагосодержания (*b*) и плотности пара (*c*) в пористой среде при сушке перегретым паром. Линии 1 и 2 соответствуют  $T_e = 160$  и  $110$  °С,  $T_0 = 20$  °С,  $S_{I0} = 0,1$ .

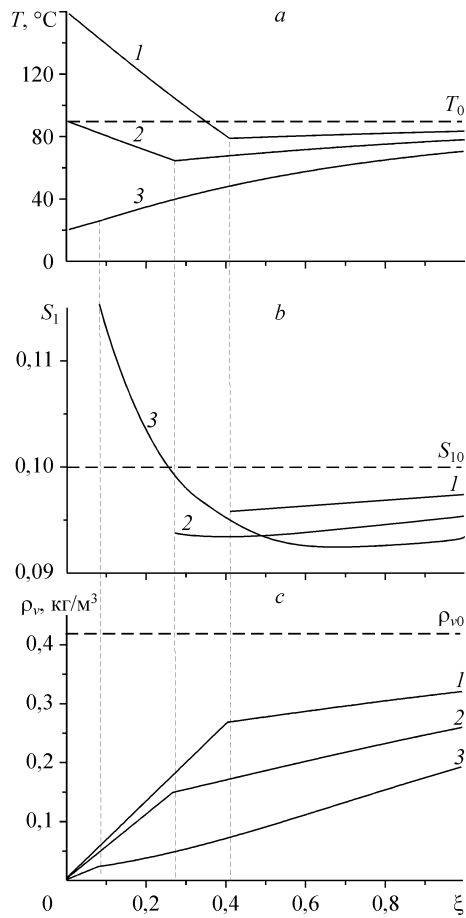


Рис. 4. Профили температуры (а), объемного влагосодержания (b) и плотности пара (с) при сушке горячей среды ( $T_0 = 90^\circ\text{C}$ ,  $S_{10} = 0,1$ ) сухим воздухом ( $\rho_{ve} = 0$ ). Линии 1, 2 и 3 соответствуют  $T_e = 160, 90$  и  $20^\circ\text{C}$ .

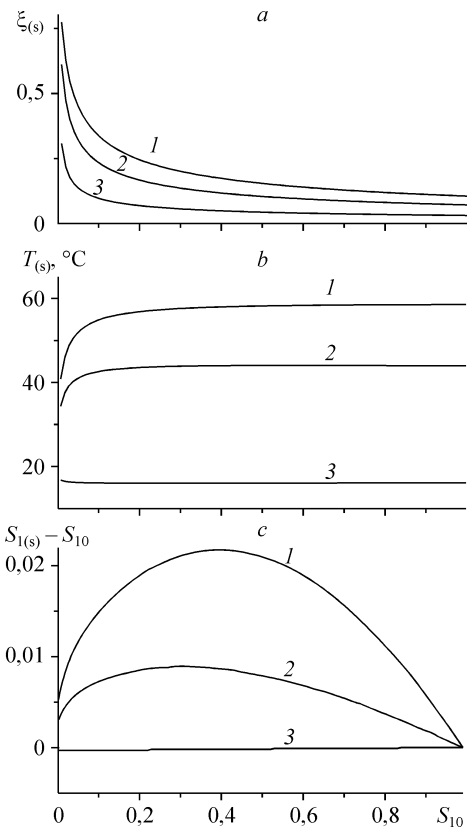


Рис. 5. Зависимости автомодельной координаты  $\xi(s)$  (а), температуры на границе влажной зоны  $T(s)$  (b) и разности объемных влагосодержаний  $S_{1(s)} - S_{10}$  (с) от исходного влагосодержания при сушке сухим воздухом. Линии 1, 2 и 3 соответствуют  $T_e = 140, 80$  и  $20^\circ\text{C}$ .

существует, падает с ростом исходного влагосодержания. Это происходит потому, что температура на границе влажной зоны повышается с увеличением исходной температуры и раньше достигает своего предельного значения  $100^\circ\text{C}$ .

#### ЗАКЛЮЧЕНИЕ

Представлена модель, описывающая процесс тепломассопереноса при сушке влажного пористого материала. Получены решения, описывающие распространение температурных и концентрационных полей. Установлено, что в зависимости от параметров внешнего воздействия может происходить как сушка, так и увлажнение среды. Показано, что в пористой среде, вблизи границы сухой и влажной зон может реализоваться температурная яма, а также увлажнение материала. Степень увлажнения прямо пропорциональна исходному влагосодержанию и температуре сушки, а температурная яма может реализоваться при сушке холодным воздухом. Кроме того, режим сушки с температурной ямой может реализоваться,

когда исходное состояние парогазовой смеси близко к состоянию насыщения для любых температур внешнего воздействия  $T_e$ .

#### СПИСОК ЛИТЕРАТУРЫ

1. **Лыков А.В.** Теория сушки. — М.: Энергия, 1968. — 471 с.
2. **Шубин Г.С.** Развитие методов расчета продолжительности высокотемпературной сушки плоских материалов и новые ее режимы для сушки древесины // IV Межд. форум по тепло- и массопереносу. — Минск, 2000. — Т. 9. — С. 30–40.
3. **Бабенко В.Е., Буевич Ю.А., Шепчук Н.М.** Квазистационарный режим сушки сферической частицы // Теоретические основы хим. технологий. — 1975. — № 2. — С. 247–277.
4. **Кумер И.Дж., Гупта Л.Н.** Приближенное решение обобщенной задачи Стефана для пористой среды с переменными теплофизическими свойствами // Тепломассообмен-V: Материалы V Всесоюз. конф. по тепломассообмену. — Минск, 1976. — Т. 5. — С. 187–197.
5. **Акулич П.В., Гринчик Н.Н.** Моделирование тепломассопереноса в капиллярно-пористых материалах // Инженерно-физический журнал. — 1998. — Т. 71, № 2. — С. 225–232.
6. **Разин М.М.** О подобии процессов тепло- и массообмена при сушке // Инженерно-физический журнал. — 2001. — Т. 74, № 3. — С. 29–33.
7. **Нигматулин Р.И.** Динамика многофазных сред. — М.: Наука, 1987. — Т. 1, 2.
8. **Бабичев А.П., Бабушкина Н.А., Братковский А.М. и др.** Физические величины: Справочник / Под. ред. И.С. Григорьева, Е.З. Мейлихова. — М.: Энергоатомиздат, 1991. — 1232 с.

*Статья поступила в редакцию 20 ноября 2007 г.*